



**Physik der
Kondensierten Materie 2**

Rudolf Gross

SS 2021

Teil 12

Vorlesungsstunde: 27.04.2021-2

- *erzwungenen Schwingungen von Ionenkristallen, optisches Verhalten ($E_{\text{ext}} \neq 0$)*

langwelliger Grenzfall: $q \rightarrow 0$

$$\epsilon(\omega) \simeq \epsilon_{\text{stat}} \frac{\omega_L^2 - \omega^2 - i\Gamma\omega}{\omega_T^2 - \omega^2 - i\Gamma\omega}$$

optische Eigenschaften: $\tilde{n} = n + i\kappa = \sqrt{\tilde{\epsilon}}$
 $n^2 - \kappa^2 = \epsilon_r, 2n\kappa = \epsilon_i$

$\epsilon_r < 0$ für $\omega_T < \omega < \omega_L$

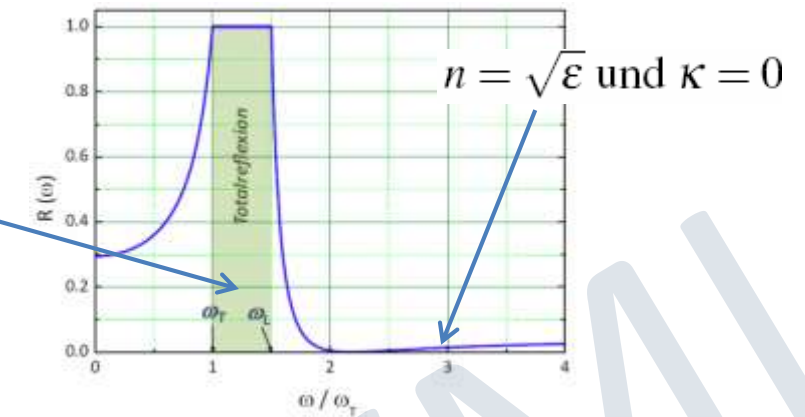
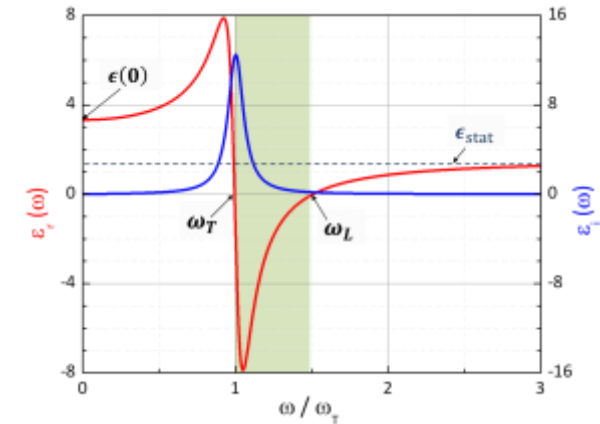
$$\rightarrow R = \frac{(n-1)^2 + \kappa^2}{(n+1)^2 + \kappa^2} = 1$$

- **Polaritonen**

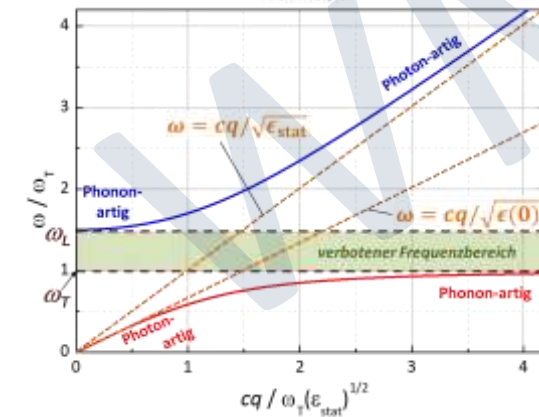
transversale em-Wellen können transversale optische Phononen anregen, falls q und ω passen

→ Gekoppelte Ausbreitung von Photon und Phonon
 → **Polariton**

$$q^2 = \frac{\epsilon(\omega, q=0)}{c^2} \omega^2 = \frac{\epsilon_{\text{stat}}}{c^2} \frac{\omega_L^2 - \omega^2}{\omega_T^2 - \omega^2} \omega^2$$



$$n = 0, \kappa = \sqrt{|\epsilon_r|}$$



• Orientierungspolarisation

- partielle Ausrichtung von vorhandenen Dipolen durch \mathbf{E}_{ext}
- für $p_{\text{dip}}E_{\text{ext}} \ll k_B T$ gilt $E_{\text{lok}} \approx E_{\text{ext}}$

(i) statisch:

$$\chi_{\text{dip}}(0) = \frac{C}{T} \quad \text{mit} \quad C = \frac{n_v p_{\text{dip}}^2}{3\epsilon_0 k_B}$$

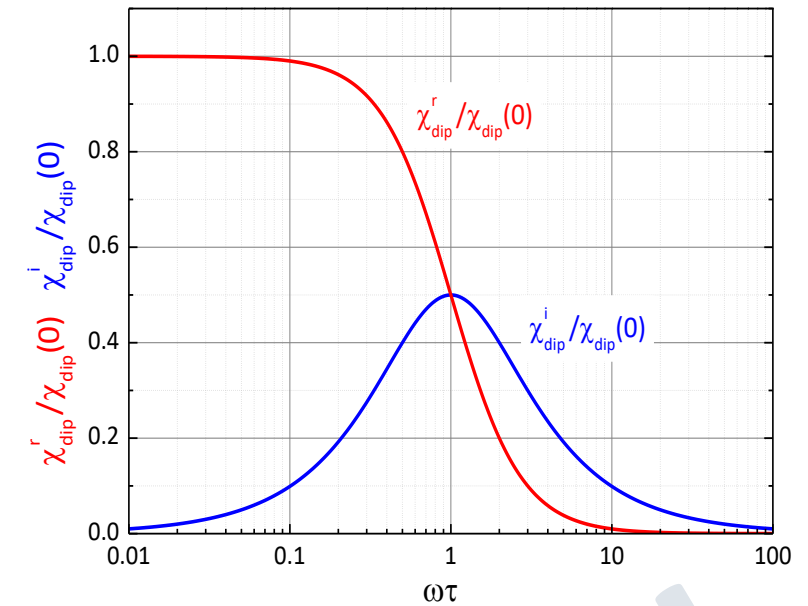
Curie-Gesetz ($p_{\text{dip}}E_{\text{ext}} \ll k_B T$)

(ii) dynamisch:

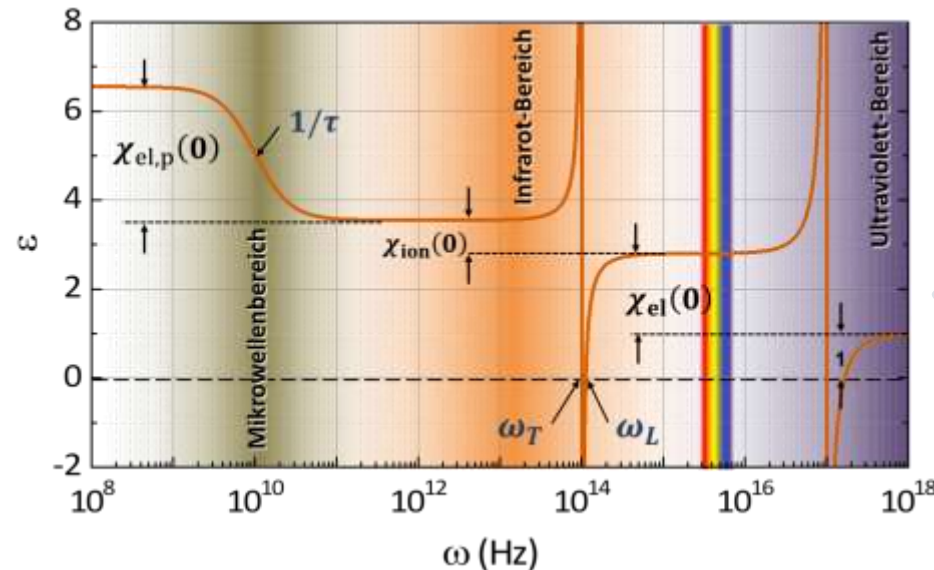
$$\chi_{\text{dip}}^r(\omega) = \chi_{\text{dip}}(0) \frac{1}{1 + \omega^2 \tau^2}$$

Debyesche Formeln

$$\chi_{\text{dip}}^i(\omega) = \chi_{\text{dip}}(0) \frac{\omega \tau}{1 + \omega^2 \tau^2}$$



• gesamte dielektrische Funktion von Isolator



Kapitel 11

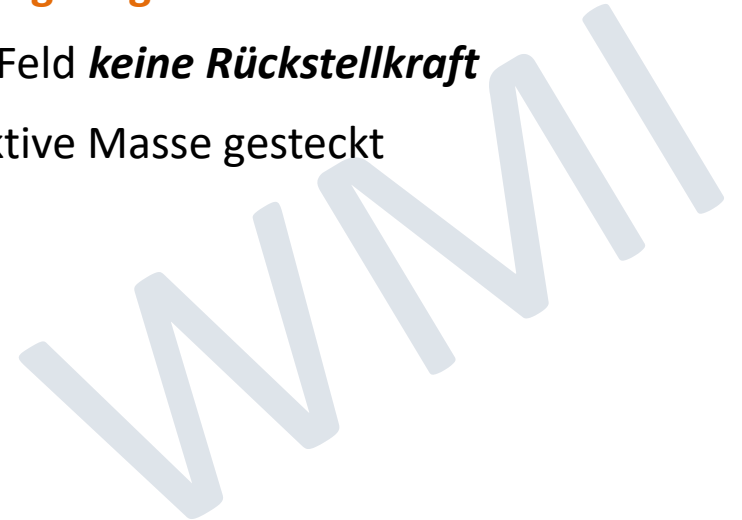
Dielektrische Eigenschaften

WMM

11.6 Dielektrische Eigenschaften von Metallen

- **bisher:** nur *elektronische Polarisation* von Isolatoren behandelt
 - voll gefüllte Bänder
 - nur *Interbandübergänge* möglich
 - keine *Intrabandübergänge*: keine Umverlagerung von Elektronen innerhalb von Band
 - gesamte Polarisation setzt sich aus elektronischer, ionischer und Orientierungspolarisation zusammen

- **jetzt:** zusätzlicher Beitrag zur *elektronischen Polarisation* durch **freie Ladungsträger in Metallen und Halbleitern**
 - wichtig: freie Elektronen erfahren bei Auslenkung durch elektrisches Feld *keine Rückstellkraft*
 - Wechselwirkung der Elektronen mit periodischem Gitter wird in effektive Masse gesteckt
 - freie Bandelekttronen mit effektiver Masse m^*



11.6.1 Dielektrische Funktion von freiem Elektronengas

- Welchen zusätzlichen Beitrag zur dielektrischen Polarisation erhalten wir durch freie Leitungselektronen?

- **Annahmen:**

- wir betrachten wiederum Grenzfall $q = 0$, da Wellenvektor von em-Wellen sehr klein ist
- wir betrachten Reaktion auf $\mathbf{E}_{\text{ext}}(t) = \mathbf{E}_0 e^{-i\omega t}$

- **Bewegungsgleichung:**

$$m^* \frac{d^2 x}{dt^2} + \frac{m^*}{\tau} \frac{dx}{dt} = (-e) E_0 e^{-i\omega t}$$

(es fehlt Rückstellkraft $kx = m^* \omega_0^2 x$, die zu charakteristischer Frequenz ω_0 führt)

- **Lösung:**

$$x(t) = \frac{e}{m^*} \frac{1}{\omega \left(\omega + \frac{i}{\tau} \right)} E_0 e^{-i\omega t}$$

- **resultierende Polarisation:**

$$P_L(t) = n(-e)x(t) = -\frac{ne^2}{m^*} \frac{1}{\omega \left(\omega + \frac{i}{\tau} \right)} E_0 e^{-i\omega t} \quad (n = \text{Dichte der Leitungselektronen})$$

$$P_L(t) = \epsilon_0 \chi_L E_{\text{ext}}(t) \Rightarrow \chi_L = P_L / \epsilon_0 E_0 e^{-i\omega t}$$

11.6.1 Dielektrische Funktion von freiem Elektronengas

- Dielektrische Suszeptibilität der freien Leitungselektronen

$$\chi_L(\omega) = -\frac{ne^2}{\epsilon_0 m^*} \frac{1}{\omega \left(\omega + \frac{i}{\tau} \right)}$$

- **gesamte Suszeptibilität eines Metalls** = Summe der Beiträge von gebundenen (χ_{el}) und freien Elektronen (χ_L)

$$\epsilon(\omega) = 1 + \chi_{el}(\omega) + \chi_L(\omega) = \epsilon_{el}(\omega) + \chi_L(\omega) \Rightarrow \epsilon(\omega) = \epsilon_{el}(\omega) \left[1 - \frac{ne^2}{\epsilon_0 \epsilon_{el}(\omega) m^*} \frac{1}{\omega \left(\omega + \frac{i}{\tau} \right)} \right]$$

$$\epsilon(\omega) = \epsilon_{el}(\omega) \left[1 - \omega_p^2 \tau^2 \frac{1 - i/\omega\tau}{1 + \omega^2 \tau^2} \right]$$

mit Plasmafrequenz

$$\omega_p = \sqrt{\frac{ne^2}{\epsilon_0 \epsilon_{el}(\omega) m^*}} = \sqrt{\frac{\sigma(0)}{\epsilon_0 \epsilon_{el}(\omega) \tau}}$$

Drude-Leitfähigkeit $\sigma(0) = ne^2 \tau / m^*$

- **charakteristische Größenordnungen:**

- Metalle: $n > 10^{22} \text{ cm}^{-3} \Rightarrow \omega_p$ oberhalb des sichtbaren Bereichs, $\tau \sim 10^{-14} \text{ s}$
- Halbleiter: $n \simeq 10^{18} \text{ cm}^{-3} \Rightarrow \omega_p \simeq 5 \times 10^{13} \text{ s}^{-1}$

11.6.1 Dielektrische Funktion von freiem Elektronengas

- Dielektrische Funktion von freiem Elektronengas: Real- und Imaginärteil

$$\epsilon_r(\omega) = \epsilon_{el}(\omega) \left[1 - \frac{\omega_p^2}{\omega^2} \frac{\omega^2 \tau^2}{1 + \omega^2 \tau^2} \right] = \epsilon_{el}(\omega) \left[1 - \frac{\sigma(0)}{\epsilon_0 \epsilon_{el}(\omega) \omega} \frac{\omega \tau}{1 + \omega^2 \tau^2} \right]$$

$$\epsilon_i(\omega) = \epsilon_{el}(\omega) \left[\frac{\omega_p^2}{\omega^2} \frac{\omega \tau}{1 + \omega^2 \tau^2} \right] = \epsilon_{el}(\omega) \left[\frac{\sigma(0)}{\epsilon_0 \epsilon_{el}(\omega) \omega} \frac{1}{1 + \omega^2 \tau^2} \right]$$

– Diskussion von interessanten Grenzfällen:

- i. Niederfrequenter Bereich: $\omega \tau \ll 1, \sigma(0)/\epsilon_0 \epsilon_{el}(\omega) \omega \gg 1$

→ $\epsilon_r \ll \epsilon_i$ es gilt: $\tilde{n}^2 = n^2 + 2in\kappa - \kappa^2 = \epsilon_r + i\epsilon_i \Rightarrow n^2 - \kappa^2 = \epsilon_r$ und $2n\kappa = \epsilon_i$

da ϵ_r vernachlässigbar, $n^2 \simeq \kappa^2$ und damit $2n\kappa \simeq 2\kappa^2$ bzw. $\kappa = \sqrt{\epsilon_i/2}$

→ $n \simeq \kappa \simeq \sqrt{\frac{\sigma(0)}{2\epsilon_0\omega}} \gg 1$ $R = \frac{(n-1)^2 + \kappa^2}{(n+1)^2 + \kappa^2} \simeq \frac{2n^2 - 2n + 1}{2n^2 + 2n + 1} \simeq 1 - \frac{4n}{2n^2 + 2n + 1} \simeq 1 - \frac{2}{n}$

→ $R \simeq 1 - 2\sqrt{\frac{2\epsilon_0\omega}{\sigma(0)}}$

Hagen-Rubens-Relation

Reflexionskoeffizient nahe bei 100%

11.6.1 Dielektrische Funktion von freiem Elektronengas

- Dielektrische Funktion von freiem Elektronengas: Real- und Imaginärteil

$$\epsilon_r(\omega) = \epsilon_{el}(\omega) \left[1 - \frac{\omega_p^2}{\omega^2} \frac{\omega^2 \tau^2}{1 + \omega^2 \tau^2} \right] = \epsilon_{el}(\omega) \left[1 - \frac{\sigma(0)}{\epsilon_0 \epsilon_{el}(\omega) \omega} \frac{\omega \tau}{1 + \omega^2 \tau^2} \right] \quad \epsilon_i(\omega) = \epsilon_{el}(\omega) \left[\frac{\omega_p^2}{\omega^2} \frac{\omega \tau}{1 + \omega^2 \tau^2} \right] = \epsilon_{el}(\omega) \left[\frac{\sigma(0)}{\epsilon_0 \epsilon_{el}(\omega) \omega} \frac{1}{1 + \omega^2 \tau^2} \right]$$

– Diskussion von interessanten Grenzfällen:

- ii. Relaxationsbereich: $\frac{1}{\tau} \ll \omega \ll \omega_p$

$$\left. \begin{aligned} \epsilon_r(\omega) &\simeq \epsilon_{el}(\omega) \left[1 - \frac{\omega_p^2}{\omega^2} \right] \simeq -\epsilon_{el}(\omega) \frac{\omega_p^2}{\omega^2} < 0 \\ \epsilon_i(\omega) &\simeq \epsilon_{el}(\omega) \frac{\omega_p^2}{\omega^3 \tau}, \quad |\epsilon_r| \gg \epsilon_i \end{aligned} \right\} \Rightarrow \tilde{n} = n + i\kappa \simeq i \sqrt{\epsilon_{el}(\omega)} \omega_p \omega^{-1} \simeq i \sqrt{\sigma(0)/\epsilon_0 \tau} \omega^{-1}$$

κ nimmt $\propto \omega^{-1}$ mit zunehmender Frequenz ab und ist $\propto \sigma(0)$

- iii. Hochfrequenzbereich: $\omega \gg \omega_p$

$$\left. \begin{aligned} \epsilon_r(\omega) &\simeq \epsilon_{el}(\omega) \left[1 - \frac{\omega_p^2}{\omega^2} \right] \simeq \epsilon_{el}(\omega) > 0 \\ \epsilon_i(\omega) &\simeq \epsilon_{el}(\omega) \frac{\omega_p^2}{\omega^3 \tau} \rightarrow 0 \end{aligned} \right\} \Rightarrow n \propto \sqrt{\epsilon_{el}(\omega)} \rightarrow 1 \quad \text{und damit } R \rightarrow 0$$

$\kappa \propto \epsilon_i(\omega) \rightarrow 0$

Metall wird transparent mit kleinem Absorptionskoeffizienten

$K = \frac{\epsilon_i \omega}{nc} \propto \frac{\omega_p^2}{\omega^2 \tau c} \ll 1/\lambda$, der mit zunehmender Frequenz abnimmt

11.6.1 Dielektrische Funktion von freiem Elektronengas

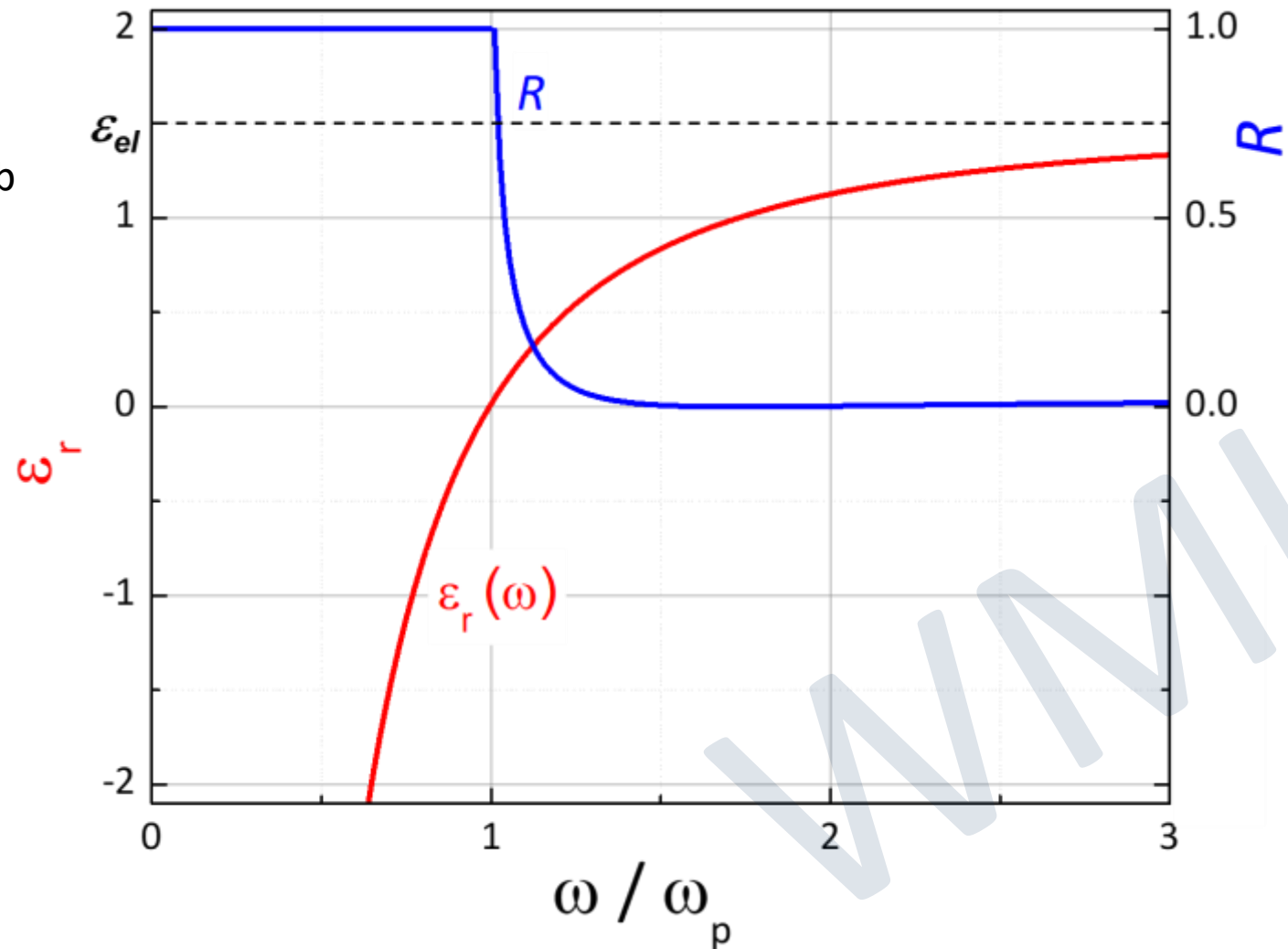
- Vereinfachter Verlauf der dielektrischen Funktion von freiem Elektronengas

für $\omega < \omega_p$ ist $\epsilon_r < 0$:

- Metalle reflektieren stark, glänzen
- κ nimmt mit zunehmender Frequenz ab

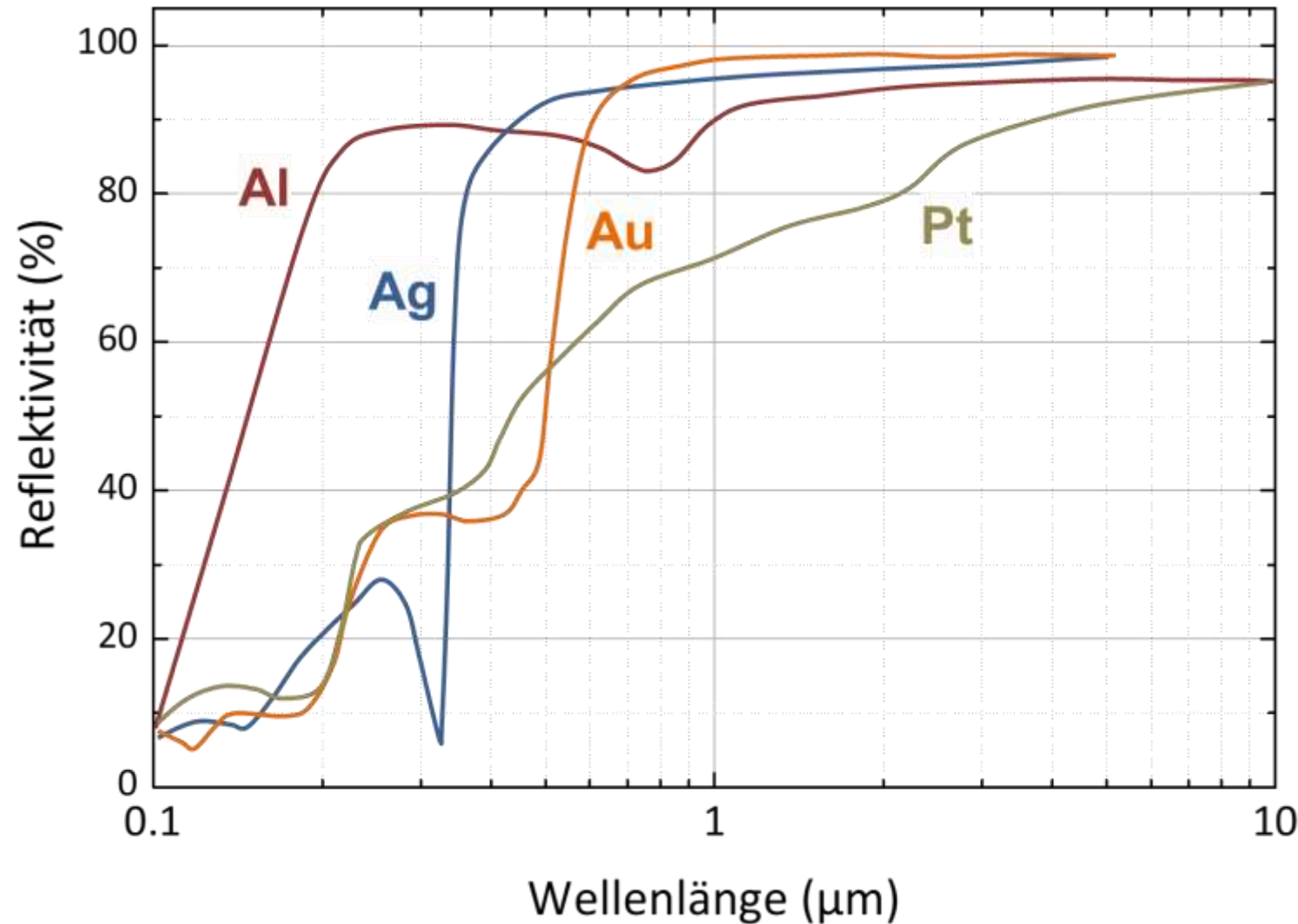
für $\omega > \omega_p$ ist $\epsilon_r > 0$:

- Metalle werden transparent
- und haben kleinem Absorptionskoeffizienten

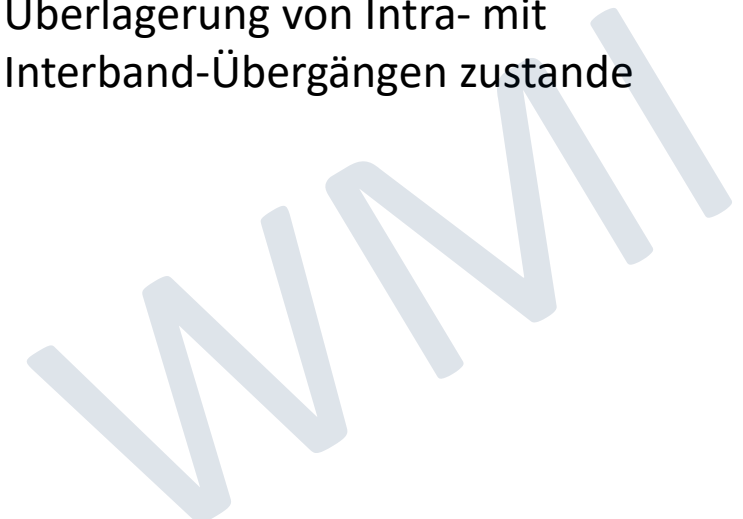


11.6.1 Dielektrische Funktion von freiem Elektronengas

- Experimentell gemessener Verlauf der dielektrischen Funktion von Metallen



- die Plasmakante $\omega = \omega_p$ vieler Metalle liegt oberhalb des sichtbaren Bereichs
- Metalle reflektieren sichtbares Licht und erscheinen deshalb glänzend
- Detailstruktur kommt durch Überlagerung von Intra- mit Interband-Übergängen zustande



- Anwendung der starken Änderung des Reflexionsvermögens von Metallen und Halbleitern an der Plasmakante

Plasmafrequenz $\omega_p = \sqrt{\frac{ne^2}{\epsilon_0 \epsilon_{el}(\omega) m^*}}$ kann durch Variation der Ladungsträgerdichte eingestellt werden

– **Kaltlichtlampe:**

- Plasmafrequenz ω_p wird knapp unter den sichtbaren Bereich geschoben
 - ➔ sichtbares Licht wird durchgelassen
 - ➔ infrarotes Licht (Wärmestrahlung) wird reflektiert (z.B. bei Projektorlampen)

– **Wärmedämmung bei Fensterglas:**

- Fensterglas wird mit Metall beschichtet, dessen Plasmafrequenz ω_p unterhalb des sichtbaren Bereichs liegt
 - ➔ sichtbares Licht/Tageslicht wird durchgelassen
 - ➔ Wärmestrahlung (infrarotes Licht) wird reflektiert und kann deshalb nicht nach Außen entweichen

– **Transparente, elektrisch leitende Metalle:**

- Ladungsträgerdichte von Metall wird so weit abgesenkt, dass ω_p unterhalb des sichtbaren Bereichs liegt → transparent
 - ➔ Anwendung sind transparente Metallschichten in LCD-Displays

– **Wichtiges Materialsystem:**

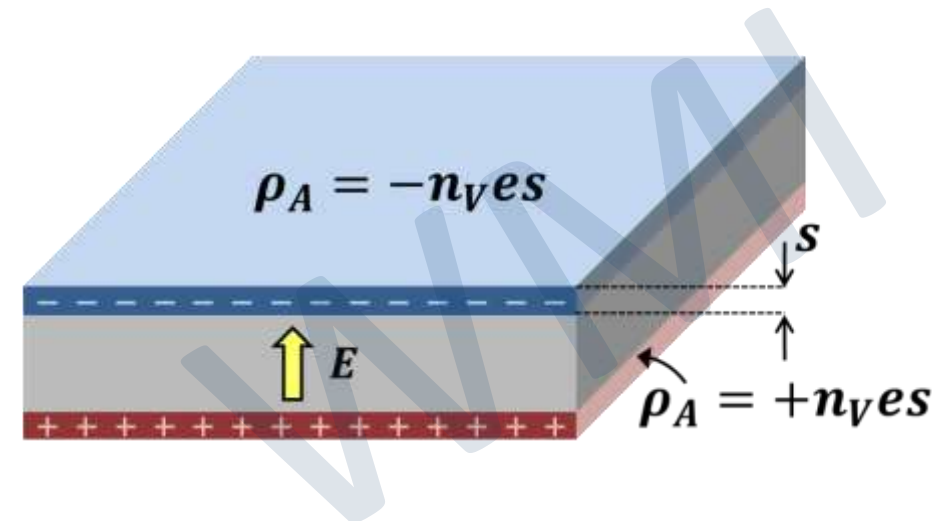
- ITO: $(\text{In}_2\text{O}_3)_{0.9} \cdot (\text{SnO}_2)_{0.1}$ (teuer wegen hohem In-Anteil)

11.6.2 Longitudinale Plasmaschwingungen: Plasmonen

- Longitudinale Plasmaschwingungen sind longitudinale Eigenschwingungen des Elektronengases, Quanten dieser Eigenschwingung heißen Plasmonen
 - bereits diskutiert: Longitudinale Eigenschwingungen treten für $\epsilon(\omega) = 0$ auf
 - für Elektronengas erhalten wir longitudinale Eigenschwingungen deshalb für $\omega = \omega_p$
 - Anregung der longitudinalen Eigenschwingungen kann nicht durch transversale em-Wellen erfolgen
 → Anregung durch Beschuss mit Elektronen

Intuitive Erklärung dafür, dass ω_p die Eigenfrequenz einer longitudinalen Plasmaschwingung ist:

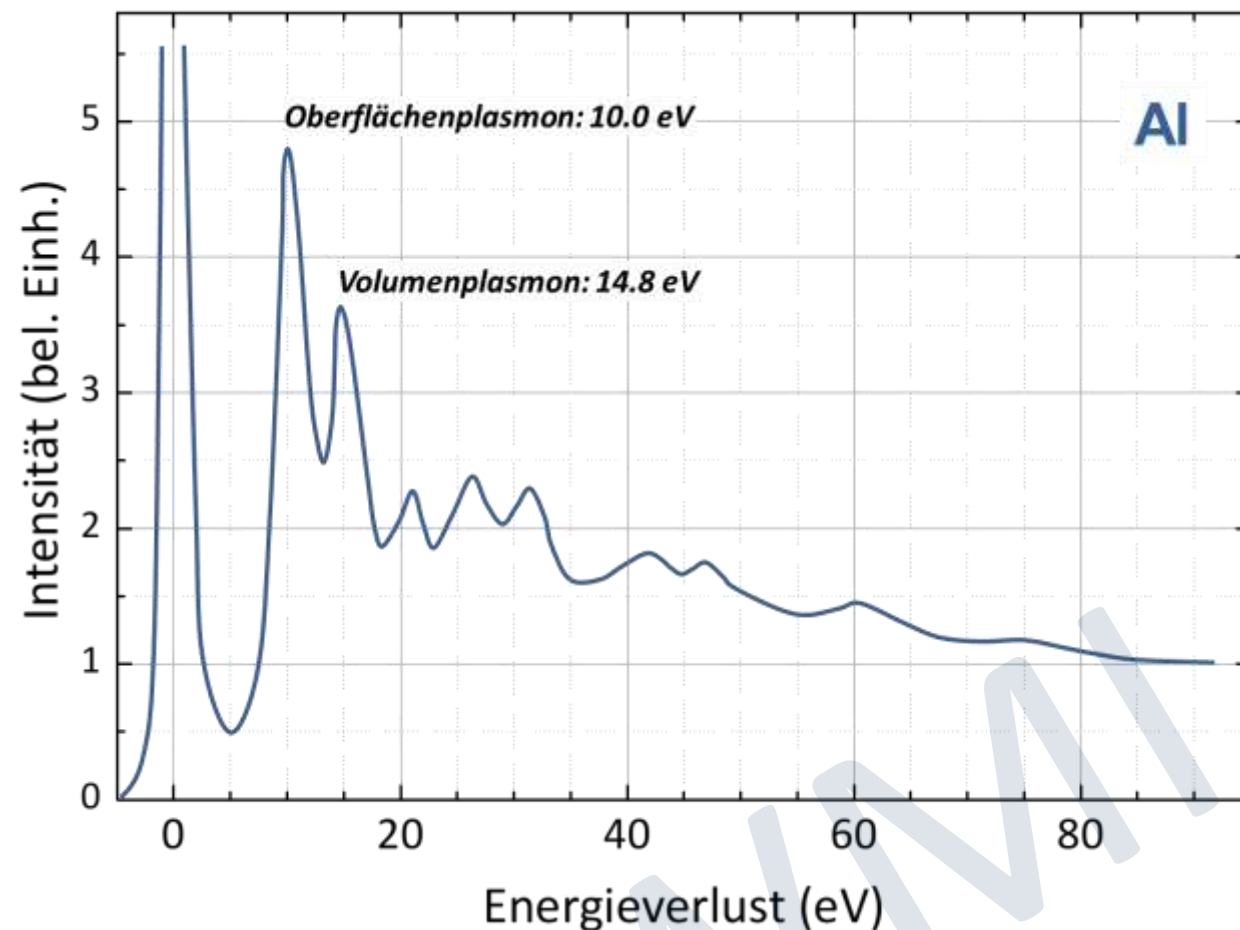
- freie Elektronen können gegen Metallionen schwingen:
Schwingung um s nach oben → Oberflächenladung $\rho_A = n_V e s$
- resultierendes elektrisches Feld: $E = n_V e s / \epsilon \epsilon_0$
(wir benutzen $\rho_A = \frac{Q}{A} = \frac{CU}{A} = \frac{\epsilon_{el} \epsilon_0 A / d}{A} E d = \epsilon_{el} \epsilon_0 E$)
- rücktreibende Kraft: $F = (-e)E = -n_V e^2 s / \epsilon \epsilon_0$
- Bewegungsgleichung: $m^* \frac{d^2 s}{dt^2} + \frac{n_V e^2}{\epsilon_{el} \epsilon_0} s = 0$
- harmonischer Oszillator mit Eigenfrequenz $\omega_p = \sqrt{n_V e^2 / \epsilon_0 \epsilon_{el} m^*}$



11.6.2 Longitudinale Plasmaschwingungen: Plasmonen

- Energieverlust von Elektronen beim Durchgang durch dünne Metallfolie:

➔ Energieverlust durch Anregung von Plasmonen



Volumenplasmon-Energie und Plasmafrequenz einiger Metalle

Material	Li	Na	K	Mg	Cu	Ag	Zn	Al	Si	Ge
$\hbar\omega_p$ (eV)	7.12	5.71	3.72	10.6	7.5	3.9	10.1	15.3	16.6	16.2
ω_p (10^{15} 1/s)	10.86	8.71	5.67	16.17	11.44	5.95	15.41	23.34	25.33	24.71

11.6.3 Transversale Plasmaschwingungen

- Anregung transversaler Plasmaschwingungen in Elektronengas durch elektromagnetische Wellen für $\omega > \omega_p$
 - für $\omega > \omega_p$ kann sich elektromagnetische Welle in Metall ausbreiten
 - falls Wellenzahl und Frequenz von em-Welle und transversaler Plasmaschwingung übereinstimmen, kommt es zu gekoppelter Ausbreitung (Hybridisierung)
 - ➔ neue quantisierte Anregung: **Plasmon-Polariton**

Dispersionrelation in der Nähe von $q = 0$

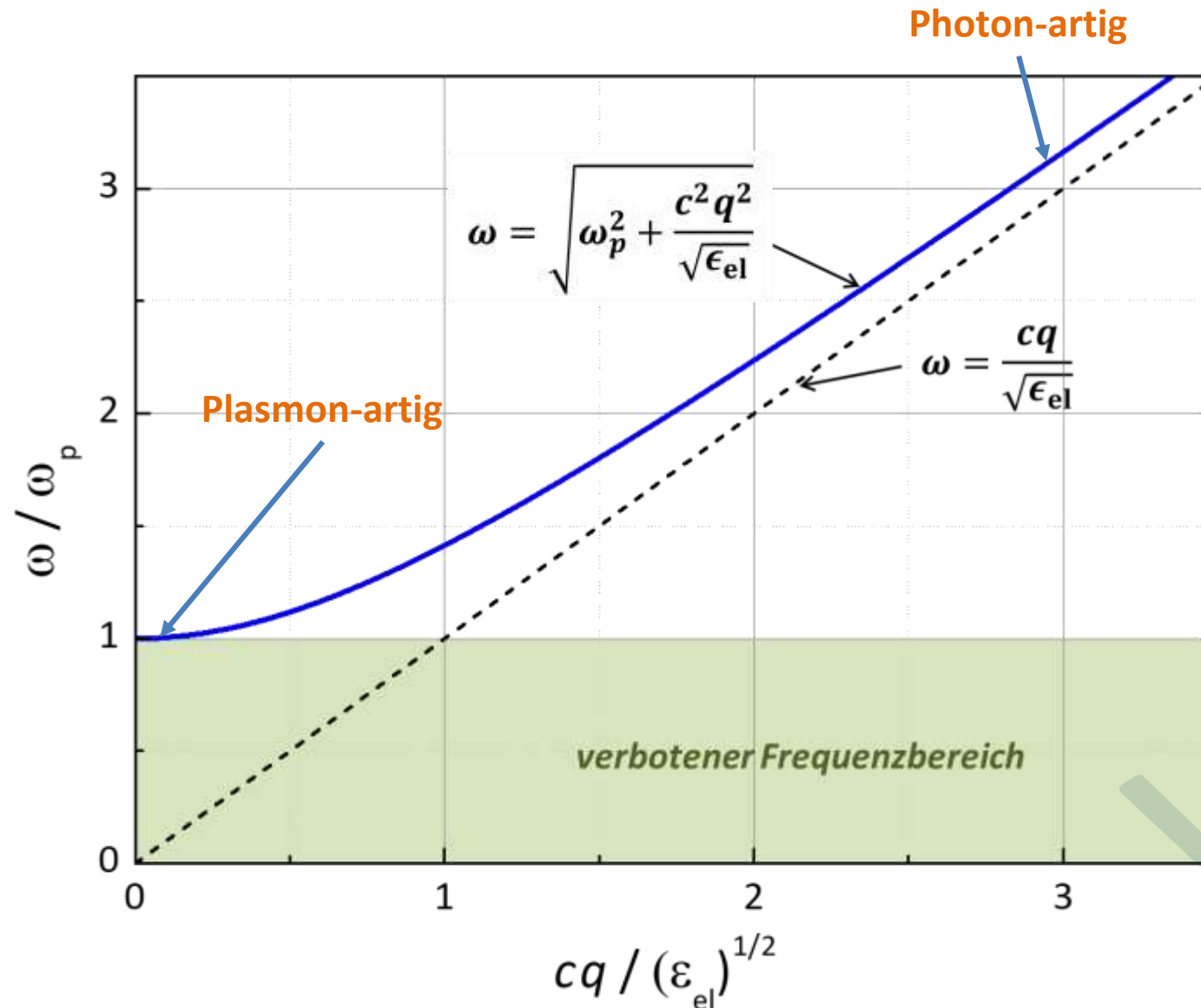
- Verwenden der allgemeiner Dispersionsrelation für em-Wellen

$$\left. \begin{array}{l}
 q^2 = \frac{1}{c^2} \omega^2 = \frac{\epsilon(\omega)}{c^2} \omega^2 \\
 \text{und } \epsilon(\omega, q = 0) \\
 \epsilon(\omega) = \epsilon_r(\omega) = \epsilon_{\text{el}}(\omega) \left[1 - \frac{\omega_p^2}{\omega^2} \right]
 \end{array} \right\} \Rightarrow \boxed{q^2 = \epsilon_{\text{el}}(\omega) \left[1 - \frac{\omega_p^2}{\omega^2} \right] \frac{\omega^2}{c^2}} \quad \text{Dispersionrelation von em-Wellen in Metall}$$

$$\omega(q) = \sqrt{\omega_p^2 + \frac{c^2}{\epsilon_{\text{el}}} q^2}$$

11.6.3 Transversale Plasmaschwingungen

- Dispersionsrelation von Plasmon-Polaritonen



für $\omega < \omega_p$ können sich em-Wellen nicht in Metall ausbreiten

11.6.4 Interbandübergänge

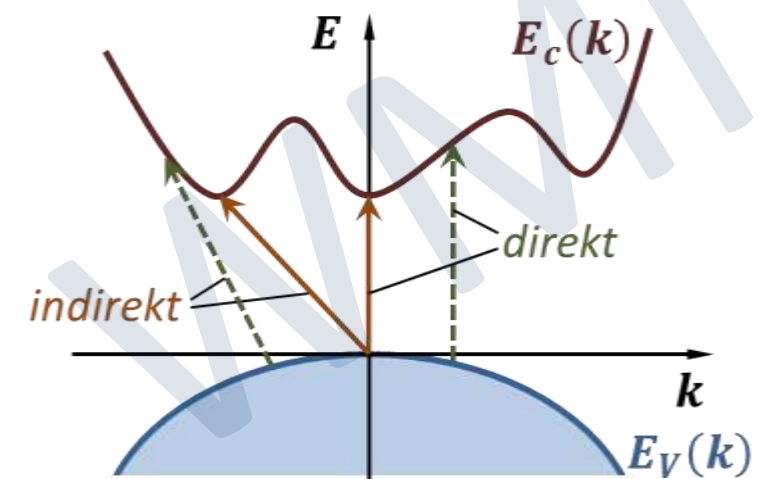
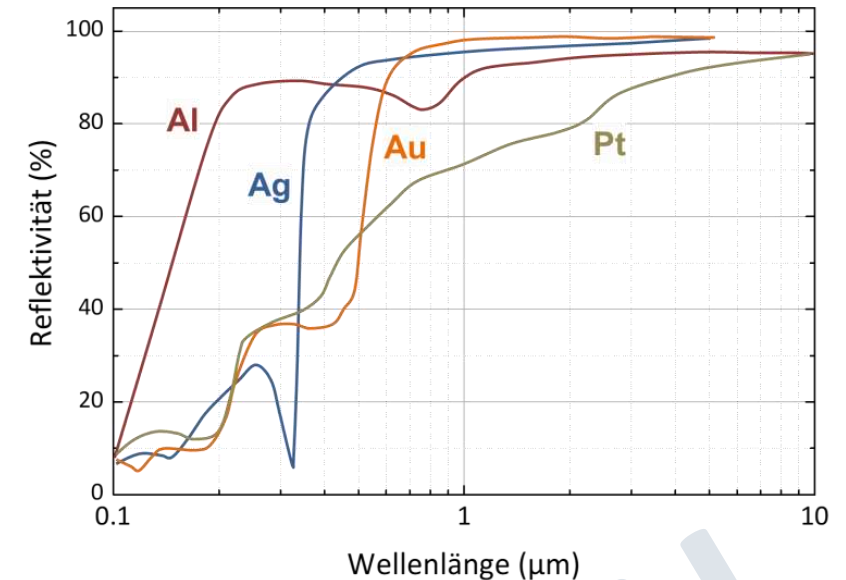
- In Metallen und Halbleitern wird die Intrabandanregung von freien Leitungselektronen von Interbandübergängen überlagert

- es resultiert komplexes Verhalten
- wichtig:
 - indirekte Übergänge sind im Vergleich zu direkten Übergängen unwahrscheinlich (es wird Phonon benötigt)
 - direkte Übergänge verlaufen quasi vertikal, da Impuls von Photon gering
 - Wahrscheinlichkeit von direkten Übergängen wird durch Matrixelemente und Zustandsdichten der Anfangs- und Endzustände bestimmt

kombinierte Zustandsdichte:

$$D_{if}(\hbar\omega) = \frac{1}{(2\pi)^3} \int_{\hbar\omega=E_f-E_i} \frac{dS_{\hbar\omega}}{|\nabla_{\mathbf{k}}[E_f(\mathbf{k}) - E_i(\mathbf{k})]|}$$

→ $D_{if}(\hbar\omega)$ immer dort groß, wo die beteiligten Bänder parallel verlaufen



11.6.5 Exzitonen

- In Halbleitern führt die Wechselwirkung von Elektronen und Löchern zu gebundenen Paaren: Exzitonen

– Berechnung der Bindungsenergie von Exzitonen mit Wasserstoff-Modell

➤ Coulomb-Wechselwirkung: $V(|\mathbf{r}_e - \mathbf{r}_h|) = \frac{e^2}{4\pi\epsilon_0\epsilon|\mathbf{r}_e - \mathbf{r}_h|}$

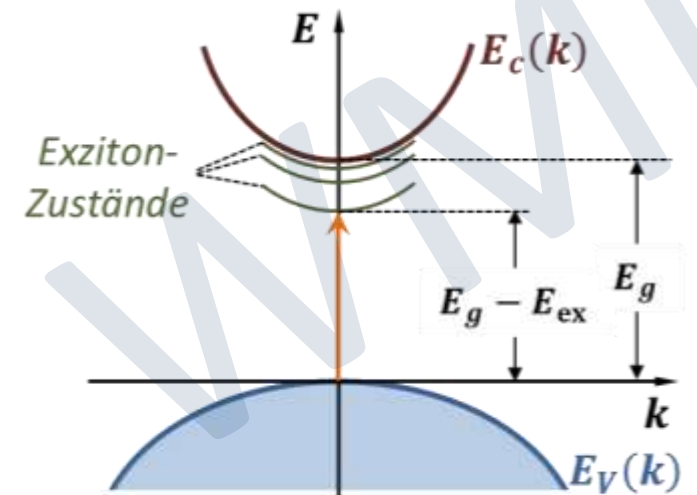
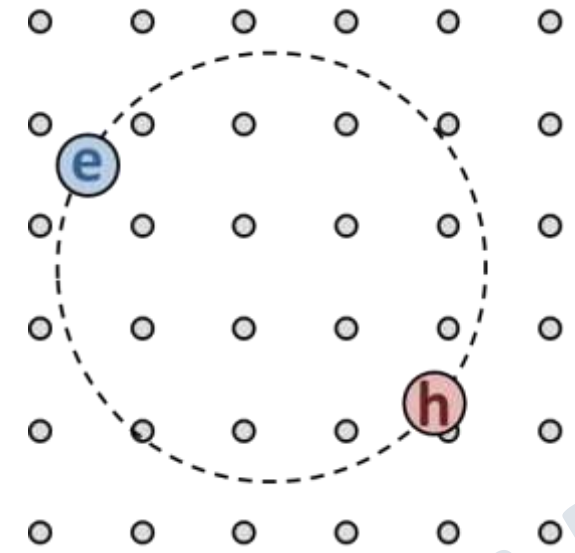
➤ Energieeigenwerte:

$$E_{n,K} = E_g - \underbrace{\frac{1}{2} \frac{\mu^* e^4}{(4\pi\epsilon_0\epsilon)^2 \hbar^2}}_{\text{Rydberg-Energie}} \frac{1}{n^2} + \underbrace{\frac{\hbar^2 K^2}{2(m_e^* + m_h^*)}}_{\text{Schwerpunktsbewegung}}$$

entspricht Rydberg-Energie mit reduzierter Masse

$$\mu = (m_e^{*-1} + m_h^{*-1})^{-1}$$

Schwerpunktsbewegung des Exzitons mit Wellenvektor K

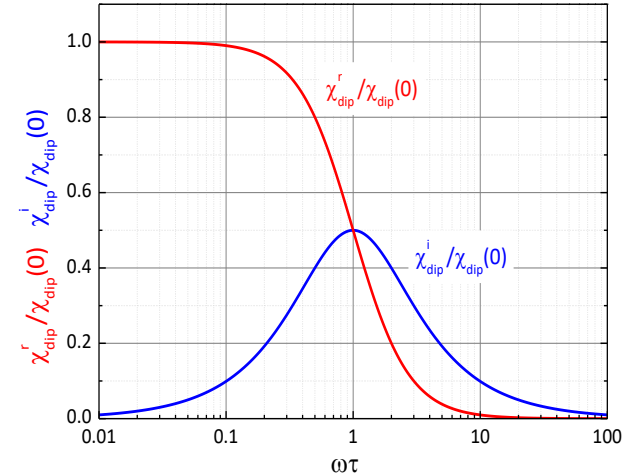


• Orientierungspolarisation

partielle Ausrichtung von vorhandenen Dipolen durch \mathbf{E}_{ext}

(i) statisch: $\chi_{\text{dip}}(0) = \frac{C}{T}$ mit $C = n_v \frac{p_{\text{dip}}^2}{3\epsilon_0 k_B}$ **Curie-Gesetz** ($p_{\text{dip}} E \ll k_B T$)

(ii) dynamisch: $\chi_{\text{dip}}^r(\omega) = \chi_{\text{dip}}(0) \frac{1}{1 + \omega^2 \tau^2}$ **Debyesche Formeln** $\chi_{\text{dip}}^i(\omega) = \chi_{\text{dip}}(0) \frac{\omega \tau}{1 + \omega^2 \tau^2}$



• dielektrische Funktion von Metallen

- freie Elektronen \rightarrow keine Rückstellkraft
- Bewegungsgleichung:

$$m^* \frac{d^2 x}{dt^2} + \frac{m^* dx}{\tau dt} = (-e) E_0 e^{-i\omega t}$$

$$\epsilon_r(\omega) = \epsilon_{\text{el}}(\omega) \left[1 - \frac{\omega_p^2}{\omega^2} \frac{\omega^2 \tau^2}{1 + \omega^2 \tau^2} \right]$$

$$\epsilon_i(\omega) = \epsilon_{\text{el}}(\omega) \left[\frac{\omega_p^2}{\omega^2} \frac{\omega \tau}{1 + \omega^2 \tau^2} \right]$$

Plasma-Frequenz:

$$\omega_p = \sqrt{\frac{ne^2}{\epsilon_0 \epsilon_{\text{el}}(\omega) m^*}} = \sqrt{\frac{\sigma(0)}{\epsilon_0 \epsilon_{\text{el}}(\omega) \tau}}$$

$n \approx 10^{22} \text{ cm}^{-3} \Rightarrow \omega_p$ im UV-Bereich

(i) $\omega \ll 1/\tau, \omega_p$:

$$n \approx \kappa \approx \sqrt{\frac{\sigma(0)}{2\epsilon_0 \omega}} \gg 1 \Rightarrow R \approx 1 - 2/n \Rightarrow R \approx 1 - 2 \sqrt{\frac{2\epsilon_0 \omega}{\sigma(0)}}$$

Hagen-Rubens-Relation

hohe Leitfähigkeit, $R \approx 1 \rightarrow$ Totalreflexion, Metalle glänzen

Abfall der em-Welle in Metall auf 1/e-tel: $\delta = c/\omega\kappa \Rightarrow \delta \approx (2/\sigma(0)\mu_0\omega)^{1/2}$ (Skin-Eindringtiefe)

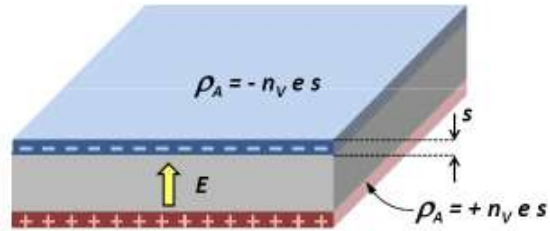
(ii) $1/\tau \ll \omega \ll \omega_p$:

$$\epsilon_r(\omega) \approx \epsilon_{\text{el}}(\omega) \left[1 - \frac{\omega_p^2}{\omega^2} \right] \approx -\epsilon_{\text{el}}(\omega) \frac{\omega_p^2}{\omega^2} < 0 \quad \epsilon_i(\omega) \approx \epsilon_{\text{el}}(\omega) \frac{\omega_p^2}{\omega^3 \tau}, \quad |\epsilon_r| \gg \epsilon_i$$

(iii) $\omega \gg 1/\tau, \omega_p$:

$$\epsilon_r(\omega) \rightarrow \epsilon_{\text{el}}(\omega) \quad \epsilon_i(\omega) \rightarrow 0 \quad \text{Absorptionskoeffizient: } K = \frac{\epsilon_i \omega}{nc} \propto \frac{\omega_p^2}{\omega^2 \tau c} \ll 1/\lambda$$

• longitudinale Plasmaschwingungen



- Anregung durch Beschuss mit geladenen Teilchen
- **Plasmonen**: Quanten der Plasmaschwingungen in Metallen

Beispiel: $q = 0$ Mode

$$\mathbf{E} = \frac{n_V e}{\epsilon \epsilon_0} \mathbf{s} \quad \rightarrow \text{rücktreibende Kraft: } \mathbf{F} = -e\mathbf{E} = -\frac{n_V e^2}{\epsilon \epsilon_0} \mathbf{s}$$

$$\text{DGL bei Vernachlässigung von Reibung: } m \frac{d^2 s}{dt^2} + \frac{n_V e^2}{\epsilon \epsilon_0} s = 0$$

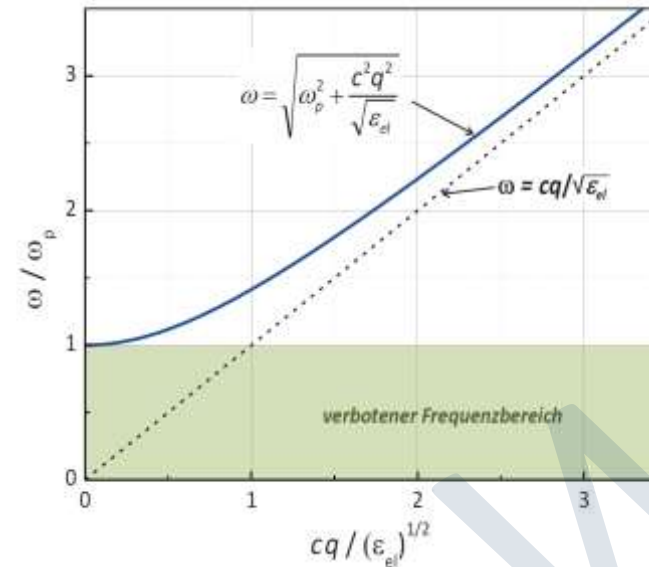
$$\text{harmonischer Oszillator mit Eigenfrequenz: } \omega_p = \sqrt{\frac{n_V e^2}{\epsilon \epsilon_0 m}}$$

• transversale Plasmaschwingungen

- Anregung durch elektromagnetische Wellen
- **Plasmon-Polariton**: gekoppelte Plasma-Schwingung und elektromagnetische Welle

$$\text{Dispersion von em-Welle: } q^2 = \frac{\epsilon_r(\omega)}{c^2} \omega^2$$

$$\text{mit } \epsilon_r(\omega) = \epsilon_{el}(\omega) \left(1 - \frac{\omega_p^2}{\omega^2}\right) \rightarrow \omega^2 = \omega_p^2 + \frac{c^2}{\epsilon_r(\omega)} q^2$$



• Interbandübergänge

- in Metallen und Halbleitern Überlagerung der Anregung von LT durch Intra- und Interbandübergänge
- komplexes Verhalten (Beispiel: gebundene Elektron-Loch-Paare (Exzitonen) in Halbleitern)